

بررسی آزمایشگاهی پارامترهای موثر بر کارایی میز لرزان در جدایش زغالسنگ

غلامرضا سعیدیⁱ; پرویز مظفریⁱⁱ

چکیده

میز لرزان یکی از موثرترین وسایل پر عیارسازی ثقلی است که در زغالشویی برای فراوری بخش ابعادی ۰/۹-۱/۵ میلیمتر بکار می‌رود. در این تحقیق تاثیر پارامترهای شیب طولی و عرضی و همچنین تاثیر فرکانس نوسانات میز بر کارایی میز لرزان بررسی شد. در این راستا ۱۶ آزمایش تک متغیره برای تعیین این پارامترها به انجام رسید و محدوده بهینه برای شیب عرضی ۳-۴ درجه، شیب طولی ۰/۵-۰/۱ درجه و فرکانس نوسانات میز ۲۶۰-۲۴۰ سیکل بر دقیقه بدست آمد. با توجه به این که احتمال تاثیر متقابل بین پارامترهای مورد آزمایش وجود داشت، طرح آزمایش هادامارد سه متغیره بر روی این پارامترها پیاده و آزمایش‌های مربوط انجام شد. نتایج آزمایش‌ها نشان داد که بین پارامترها تاثیر متقابل وجود دارد و مقدار بهینه برای شیب عرضی ۳ درجه، برای شیب طولی صفر درجه و برای فرکانس نوسانات میز ۲۶۰ سیکل بر دقیقه و کارایی جدایش برای هریک از پارامترهای فوق به ترتیب ۶۴/۲ و ۵۵/۵۵ و ۴۷/۵۵ درصد بدست آمد.

کلمات کلیدی

میز لرزان، میز لرزان ویلفلی، زغالسنگ، طرح آزمایش هادامارد.

Investigation on Effective Parameters in Efficiency of Shaking Table for Coal Separation

Gh.Saeedi; L.Rezazadeh; P. Mozafari

ABSTRACT

Shaking table is one of the most effective devices for gravity concentration which is used in coal washing for the particles sized from 0.15 to 9.5 mm. In this research, some parameters were determined such as longitudinal tilt, slide tilt and frequency which affect efficiency of shaking table. 16 one - parameter tests were carried out in order to determine the aforementioned parameters. Therefore, the optimum range of longitudinal tilt, slid tilt and frequency obtained were 0 to 0.5 degree, 3 to 4 degree and 240 to 260 cycle per minute respectively. Since there may exist interactive effects among these parameters, a three-parameter H-damard experimental design was carried out on the optimum range of above parameters. Results of this experiment show that interactive effects exist between these parameters, and optimum rate of the longitudinal tilt, slide tilt and frequency are 0 degree, 3 degree and 260(rpm) respectively. Separation efficiency for these parameters obtained were 64.2%, 55.5% and 47.55%, respectively.

KEYWORDS

Shaking table, Willfly Shaking table, coal, H-damard experimental design.

ⁱ دانشجوی دوره دکتری استخراج معدن؛ دانشکده معدن و متالورژی؛ دانشگاه امیرکبیر: saeedirashk@yahoo.com. تلفن: ۰۹۱۲۹۴۵۴۵۶.

ⁱⁱ کارشناس ارشد فراوری مواد معدنی کارخانه زغالشویی زرند: Mozaffari@hemmat.ir.

۱- مقدمه

باطله خوراک استفاده شد. دانسیته این ماده با آزمایش حجم سنجی ۲/۵ گرم بر سانتیمترمکعب بدست آمد. خاکستر این ماده نیز ۱۰۰ درصد در نظر گرفته شد. برای انجام آزمایش‌ها از نمونه‌های ۱ کیلوگرمی از مخلوطی از زغالسنگ و کوارتز به نسبت وزنی ۷ به ۳ که خاکستری در حدود ۳۴/۶ درصد تولید می‌کرد استفاده شد. هدف از انتخاب نمونه‌ها حذف اثر اندازه و تا حدودی اثر شکل در انجام آزمایش‌ها بود.

برای اجتناب از آزمایش‌های پر هزینه و زمانبر خاکستر سنجی، ماده با ارزش و باطله هریک از نمونه‌های کنسانتره و باطله میز مربوط به هر آزمایش به روش غرق و شناور سازی توسط محلول سنگین کلرید روی با دانسیته ۱/۵ گرم بر سانتیمتر مکعب از هم جدا شد و با توزین کردن مقدار غرق یا ماده بی ارزش و شناور یا ماده با ارزش در محصول کنسانتره یا باطله میز و در نظر گرفتن خاکستر مربوط به هر بخش مقدار خاکستر محصولات مختلف میز به صورت محاسبه‌ای تعیین گردید.

در تمام آزمایشها مقادیر پارامترهای زیر ثابت نگهداشته شده بود.

جدول (۱): مقادیر پارامترهای ثابت آزمایش‌ها

دانمه نوسان میز	دبی جامد خوراک	دبی آب شستشو	درصد جامد
۸ mm	۱۰۰ gr/min	۱۰۰۰ cc/min	۲۲ %

۳- شاخص کارایی جدایش

در این تحقیق برای بیان یک شاخص بعنوان کارایی جدایش از رابطه زیر که توسط اسونسون^۱، فیرس^۲ و نیکل^۳ در سال ۱۹۸۷ ارائه شده است، استفاده شد:[۴]

$$E = R \frac{t}{c} \quad (1)$$

که در آن E کارایی جدایش، R بازیابی وزنی مواد غیر خاکستر، t خاکستر باطله و c خاکستر کنسانتره است. همچنین داریم:

$$R = \frac{C_c}{C_c + C_r} \quad (2)$$

که در آن C_c و C_r بترتیب وزن مواد غیر خاکستر یا زغالسنگ در محصول کنسانتره و باطله میز است. با توجه به رابطه (۲)، در حالت ایده ال که بازیابی زغالسنگ در جریان کنسانتره ۱۰۰ درصد و بازیابی باطله در جریان باطله ۱۰۰ درصد است مقدار عددی کارایی جدایش در حالت ایده ال به صورت زیر تعیین می‌شود:

$$E = 1 * \frac{1}{6.5} \quad (3)$$

میز لرزان موثرترین وسیله پر عیار سازی تقلی است که در شستشوی زغالسنگ‌هایی با دانه بندی بین ۰/۱۵ تا ۹/۵ میلیمتر با دقت بالا مورد استفاده قرار می‌گیرد[۱]. تکامل تدریجی میزهای لرزان به سال ۱۸۶۰ بر می‌گردد. که برای اولین بار از نوارهای پیوسته (نوارهای بدون انتهای) به هک لایه نازکی از آب برای جدایش کانی‌ها استفاده می‌شد. میزهای لرزان ابتدا برای پر عیار سازی مواد مختلف معدنی ساخته شدند اما بتدریج برای شستشوی زغالسنگ نیز بکار گرفته شدند[۲].

در کارخانه‌های زغالشویی ایران عمدتاً از جیگ و فلوتاسیون برای شستشوی زغالسنگ استفاده شده است. محدوده ابعادی ۰/۶ تا ۱ میلیمتر در این گونه وسایل به خوبی فراوری نمی‌شود. و در باطله فلوتاسیون کارخانه‌های زغالشویی میز لرزان قابل توجهی از این ذرات با مشخصات بار اولیه وجود دارد. هدف از انجام این تحقیق بررسی پارامترهای موثر بر کارایی میز لرزان در شستشوی زغالسنگ در این محدوده بوده است[۳].

۲- وسایل و روش کار

الف- وسایل و مواد

۱- مقدار ۱۰ کیلوگرم نمونه زغالسنگ با دانسیته کمتر از ۱/۴ گرم بر سانتیمتر مکعب و در محدوده ابعادی ۱۰/۸ میلیمتر

۲- باطله خالص با دانسیته ۲/۵ گرم بر سانتیمتر مکعب

۳- میز لرزان آزمایشگاهی (نوع ویلفلی، ابعاد میز ۱۲۹×۶۴ cm، ابعاد دستگاه ۲×۲/۵×۱m، جنس فایبرگلاس ضد سایش، الکتروموتور تک فاز ۰/۷۵ km).

۴- تغذیه کننده مناسب برای میز

۵- کمپاس برای تعیین شبیهای طولی و عرضی

۶- ترازوی آزمایشگاهی با دقت بالا

۷- محلول کلرید روی برای جدایش محصولات به روش غرق و

شناور سازی

ب- روش کار

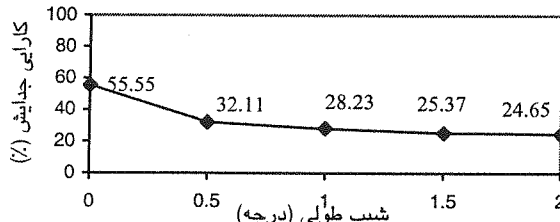
از آنچاکه هدف از این تحقیق بررسی کارایی میز در جدایش زغالسنگ بود، برای آزمایش ۱۰ کیلوگرم نمونه زغالسنگ که در دانسیته کمتر از ۱/۴ گرم بر سانتیمتر مکعب شناور شده و در بازه ابعادی ۸-۱۰ میلیمتر دانه بندی شده بود به عنوان

کنسانتره موجود در بار اولیه میز استفاده شد. خاکستر نمونه زغالسنگ با آزمایش خاکستر سنگی ۶/۵ درصد بدست آمد. از

کوارتز دانه بندی شده در بازه ۸-۱۰ میلیمتر نیز به عنوان

۴-۳- تعیین محدوده بهینه شیب طولی

برای بررسی اثر شیب طولی بر کارایی جدایش، پنج آزمایش در پنج شیب طولی مختلف به انجام رسید و با استفاده از رابطه (۱)، کارایی جدایش برای این آزمایش‌ها محاسبه شد. با توجه به شکل (۲) محدوده بهینه برای شیب طولی ۰ تا ۰/۵ درجه است.



شکل (۲): تاثیر شیب طولی بر کارایی جدایش در میز لرزان.

۵- بحث

۱- تاثیر شیب عرضی بر کارایی جدایش

باتوجه به شکل (۱) محدوده بهینه برای شیب عرضی بین ۳ تا ۴ درجه است. در شیب‌های پایین به دلیل ثابت بودن آب شستشو امکان جدایش لایه‌های مختلف مواد که براساس دانسیته لایه بندی شده‌اند، وجود ندارد و بنابراین مواد به خوبی از هم جدا نشده‌اند. در شیب ۵ درجه نیز به دلیل زیاد بودن شیب میز سرعت انتقال مواد در جهت عرض خیلی زیاد شده و درنتیجه باعث انتقال بخشی از مواد سنگین به محدوده مواد سبک در لبه پایین میز شده است. افزایش شیب عرضی فقط زمانی مفید است که آب شستشو به اندازه کافی موجود نباشد. در آن صورت برای انتقال لایه‌های سبک مواد از سطح میز در جهت عرض به طرف لبه پایینی میز افزایش شیب عرضی می‌تواند کمک کننده باشد.

۲- تاثیر فرکانس بر کارایی جدایش

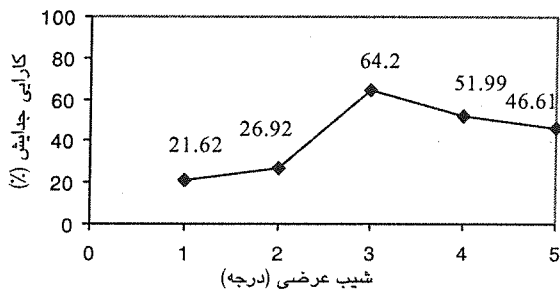
شکل (۲) تاثیر تغییر فرکانس نوسانات میز را بر کارایی جدایش میز نشان می‌دهد. با توجه به شکل، با افزایش تعداد نوسانات کارایی جدایش پایین آمده است. از آنجا که اندازه ذرات نمونه نسبتاً بزرگ است بنابراین افزایش فرکانس برای این ابعاد به طور معمول مناسب نمی‌باشد. مشاهدات عینی نیز نشان داد که با افزایش فرکانس سرعت تخلیه مواد در جهت طول زیاد شده و اختلاط کنسانتره و باطله زیاد می‌شود. در فرکانس‌های پایین سرعت انتقال مواد بر روی میز پایین تر بوده و در نتیجه زمان ماند مواد بر روی میز بیشتر بوده بنابراین مواد برای جدایش فرصت بیشتری داشته‌اند.

برای تعیین کارایی جدایش در آزمایش‌ها، کارایی جدایش بدست آمده با تقسیم بر کارایی جدایش ایده‌آل به صورت درصدی از کارایی جدایش ایده‌آل بیان می‌شود.

۶- ارائه یافته‌ها

۱- تعیین محدوده بهینه شیب عرضی

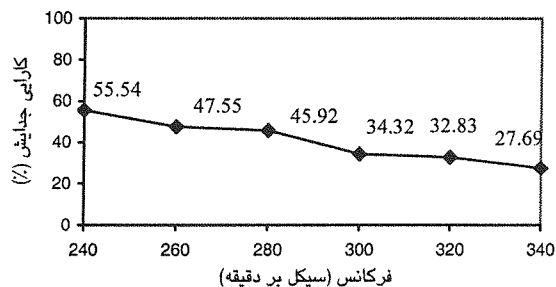
برای بدست آوردن تاثیر شیب عرضی پنج آزمایش مختلف با شیب‌های مختلف با ثابت نگهداشتن سایر پارامترهای دستگاه انجام و با استفاده از رابطه (۱) کارایی جدایش برای این آزمایش‌ها محاسبه شد. شکل (۱) تاثیر شیب عرضی را بر کارایی جدایش نشان می‌دهد. با توجه به شکل محدوده بهینه برای شیب عرضی بین ۳ تا ۴ درجه است.



شکل (۱): تاثیر شیب عرضی بر کارایی جدایش در میز لرزان.

۲- تعیین محدوده بهینه فرکانس نوسانات

برای بدست آوردن اثر فرکانس نوسانات میز بر کارایی جدایش با ثابت نگهداشتن سایر پارامترهای میز شش آزمایش در شش فرکانس مختلف انجام شد و با استفاده از رابطه (۱)، کارایی جدایش برای این آزمایش‌ها محاسبه گشت. در این آزمایش مقدار شیب عرضی در بهترین حالت خود یعنی در حالت ۳ درجه قرار داده شد. شکل (۲) تاثیر تغییر فرکانس نوسانات میز را بر کارایی جدایش میز نشان می‌دهد. با توجه به شکل محدوده بهینه برای فرکانس نوسانات میز ۲۶۰-۲۴۰ سیکل بر دقیقه است.



شکل (۲): تاثیر فرکانس بر کارایی جدایش در میز لرزان.

۳-۵- تأثیر شیب طولی بر کارایی جدایش

با توجه به شکل (۳) محدوده بهینه برای شیب طولی ۰ تا ۰/۵ درجه است. معمولاً شیب طولی باید در کمترین مقدار ممکن نگهداشته شود تا جریان آب شستشو بر روی میز یکنواخت بوده و آب در جهت شیب عرضی میز جریان داشته باشد با افزایش شیب طولی کارایی جدایش کاهش پیدا می کند: چرا که با افزایش شیب طولی بخشی از آب شستشو به جای جریان یافتن در عرض میز در طول میز جاری می شود و در نتیجه مواد در پشت موانع روی میز فرصت لایه بندی نداشته و در جهت طول میز در فاصله بین موانع به طرف لبه تنظیه میز حرکت کنند. بنابراین در این حالت اختلاط محصولات مختلف میز بالا خواهد بود.

۴- طرح آزمایش هادامارد برای تعیین مقادیر

پیشنهاد

با توجه به آزمایش‌های قبلی انجام شده، دامنه بهینه برای پارامترهای شیب عرضی، شیب طولی و فرکانس به شرح جدول (۲) است. برای بدست آوردن بهترین شرایط عملیاتی بر اساس سه پارامتر اندازه گیری شده شیب عرضی، شیب طولی و فرکانس نوسانات میز طرح آزمایش هشت تایی هادامارد انجام شد. سطوح بالا و پایین آزمایشها بر اساس طرح هادامارد مطابق جدول (۲) در نظر گرفته شد.

جدول (۲): سطوح پارامترهای آزمایش در طرح آزمایش هادامارد

پارامتر آزمایش	سطوح آزمایش		واحد
	پایین	بالا	
شیب عرضی	۰	۰/۵	درجه
شیب طولی	۰	۰/۵	درجه
فرکانس نوسانات	۲۶۰	۲۴۰	سیکل در دقیقه

براساس ماتریس هادامارد هشت آزمایش به انجام رسید و کارایی جدایش برای هر آزمایش محاسبه شد. مقادیر پارامترها در هشت آزمایش مطابق جدول (۳) است.

جدول (۳): مقادیر پارامترهای هر آزمایش

شماره آزمایش	شیب عرضی (درجه)	شیب طولی (درجه)	فرکانس نوسانات(cpm)
۱	۰	۰	۲۴۰
۲	۰/۵	۰	۲۴۰
۳	۰/۵	۰/۵	۲۶۰
۴	۰/۵	۰/۵	۲۶۰
۵	۰	۰/۵	۲۶۰
۶	۰/۵	۰/۵	۲۴۰

مقدار واریانس آزمایش‌ها با توجه به جدول (۴) و روابط (۴) و (۵)، برابر با ۰/۲۴۹۹ بودست آمد.

$$\sigma^2 = \frac{\sum_{i=1}^n (\bar{x} - x_i)^2}{n-1} \quad (4)$$

$$\bar{x} = \frac{\sum_{i=1}^n x_i}{n} \quad (5)$$

اگر حرف *A* نماینده شیب عرضی، حرف *B* نماینده متغیر شیب طولی و حرف *C* نماینده فرکانس نوسانات باشد. نتایج هر آزمایش در ستون مربوط به متغیرها یک به یک ضرب شده و جمع جبری هرستون محاسبه و باتقسیم بر عدد ۴، تأثیر مربوط به آن ستون که متناظر با یک متغیر است بدست می آید(جدول ۶). عدد ۱ در ستون اول و سطر ۱۰ این جدول معنی آن است که هر سه متغیر در سطح پایین در نظر گرفته شده اند. وقتی یک متغیر با سطح بالا انجام می شود با حرف خودش (مثالاً برای متغیر *A* با حرف *a*) نشان داده شده است. برای سطح پایین متغیر *A* با عدد ۱ نشان داده می شود و حاصل ضرب آنها ترکیب نهایی آزمایش را برای متغیرهای

۶-۳- تعیین سطح بھینه فرکانس نوسانات

$$\left(\bar{x}_H - \bar{x}_L \right)^C = |0.80| \geq \left(\bar{x}_H - \bar{x}_L \right)^* = 0.54 \quad (10)$$

با توجه به شاخص مقایسه تغییر در فرکانس نوسانات میز موثر بوده و سطح بالای آن از سطح پایین آن بهتر است. به عبارتی فرکانس ۲۶۰ سیکل بر دقيقه فرکانس بھینه می باشد. بررسی و مقایسه تاثیرات متقابل با شاخص مقایسه نشان می دهد که تاثیر متقابل بین پارامترها بارز است و این پارامترها تاثیر متقابل بر روی همیگر دارند.

۶-۴- تعیین کارایی جدایش برای مقادیر بھینه

طرح آزمایش هادامارد بر روی محدوده بھینه پارامترها اجرا شد و مقادیر بھینه پارامترها برای شبیب عرضی و طولی بترتیب ۳ و صفر درجه و مقدار بھینه فرکانس ۲۶۰ سیکل در دقیقه بدست آمد. با توجه به این مقادیر و شکل های (۱)، (۲) و (۳) کارایی جدایش برای مقادیر بھینه شبیب عرضی، شبیب طولی و فرکانس نوسانات میز بترتیب $\frac{۶۴}{۵}$ ، $\frac{۶۴}{۲}$ ، $\frac{۵۵}{۵۵}$ و $\frac{۴۷}{۵۵}$ درصد بدست آمد.

۷- نتایج

الف- محدوده بھینه برای پارامترهای شبیب طولی، شبیب عرضی و فرکانس به ترتیب $۰\text{--}۰/۵$ درجه و $۳\text{--}۴$ درجه و ۲۶۰ سیکل بر دقیقه بدست آمد.

ب- با توجه به نتایج طرح هادامارد پارامترهای مورد آزمایش بر روی همیگر تاثیر متقابل دارند.

ج- طرح آزمایش هادامارد بر روی محدوده بھینه پارامترها انجام شد و مقادیر بھینه پارامترها برای شبیب عرضی و طولی بترتیب ۳ و صفر درجه و مقدار بھینه فرکانس ۲۶۰ سیکل در دقیقه بدست آمد.

د- کارایی جدایش برای مقادیر بھینه شبیب عرضی، شبیب طولی و فرکانس نوسانات میز بترتیب $\frac{۶۴}{۲}$ ، $\frac{۶۴}{۵}$ و $\frac{۵۵}{۵۵}$ درصد حاصل شد.

مقدار شاخص مقایسه نیز برای سطح خطای 5% از رابطه (۶) به صورت زیر محاسبه می شود [۶]:

$$|\bar{x}_H - \bar{x}_L| = t_{\alpha} \sigma \sqrt{\left(\frac{1}{n_H}\right) + \left(\frac{1}{n_L}\right)} \quad (6)$$

که در آن x_H و x_L به ترتیب سطوح بالا و پایین آزمایش ها، t_{α} مقدار توزیع β برای سطح اطمینان α ، σ انحراف معیار آزمایش ها، n_H و n_L بترتیب تعداد آزمایش های انجام شده برای سطوح بالا و پایین آزمایش ها.

در نتیجه مقدار شاخص مقایسه برابر است با:

$$|\bar{x}_H - \bar{x}_L| = 1.53 * 0.5 \sqrt{\left(\frac{1}{4}\right) + \left(\frac{1}{4}\right)} = 0.54 \quad (7)$$

حال برای تعیین حالت بھینه سطوح آزمایش ها باید متوسط تاثیر اصلی هر پارامتر و متوسط تاثیر متقابل پارامترها با شاخص مقایسه شود. در صورتی که قدر مطلق تاثیر اصلی هر پارامتر یا تاثیر متقابل هر یک از ترکیب پارامترها از قدر مطلق مقدار شاخص بزرگتر باشد، به معنای آن است که تغییر در پارامتر مورد نظر بر کارایی جدایش تاثیر گذاشته است. در غیر این صورت سطح بالا و پایین پارامتر مورد نظر از لحاظ آماری در تولید نتیجه کلی یکسان بوده اند. در ادامه تصمیم گیری چنانچه مقدار تاثیر منفی باشد به این معنا است که سطح پایین پارامتر از سطح بالای پارامتر بهتر بوده است، و گرنه سطح بالای پارامتر مورد آزمایش بهتر بوده است. مقایسه نتایج در ادامه آمده است.

۶-۱- تعیین سطح بھینه شبیب عرضی

$$\left(\bar{x}_H - \bar{x}_L \right)^A = |-10.02| \geq \left(\bar{x}_H - \bar{x}_L \right)^* = 0.54 \quad (8)$$

در نتیجه برای شبیب عرضی می توان نتیجه گرفت که سطح پایین شبیب عرضی از سطح بالای آن بهتر است و بنابراین شبیب عرضی ۳ درجه بهتر است.

۶-۲- تعیین سطح بھینه شبیب طولی

$$\left(\bar{x}_H - \bar{x}_L \right)^B = |-6.06| \geq \left(\bar{x}_H - \bar{x}_L \right)^* = 0.54 \quad (9)$$

با توجه به مقایسه انجام شده تغییر در کارایی جدایش در نتیجه تغییر شبیب طولی موثر بوده و سطح پایین شبیب طولی از سطح بالای آن بهتر و به عبارتی شبیب طولی صفر درجه، شبیب طولی بھینه است.

جدول (۶): محاسبه متوسط تاثیرات اصلی و متقابل پارامترهای مورد آزمایش

متغیر	A	B	C	-AB	-BC	ABC	-AC	ترکیب آزمایش ها
شماره آزمایش	۱	۲	۳	۴	۵	۶	۷	
۱	۲۸/۹۶	-۲۸/۹۶	-۲۸/۹۶	۲۸/۹۶	-۲۸/۹۶	۲۸/۹۶	۲۸/۹۶	a
۲	۲۹/۸۵	۲۹/۸۵	-۲۹/۸۵	-۲۹/۸۵	۲۹/۸۵	-۲۹/۸۵	۲۹/۸۵	ab
۳	۴۰/۸۳	۴۰/۸۳	۴۰/۸۳	-۴۰/۸۳	-۴۰/۸۳	۴۰/۸۳	-۴۰/۸۳	abc
۴	-۳۷/۷۳	۳۷/۷۳	۳۷/۷۳	۳۷/۷۳	-۳۷/۷۳	-۳۷/۷۳	۳۷/۷۳	bc
۵	۲۲/۸۸	-۲۲/۸۸	۲۲/۸۸	۲۲/۸۸	۲۲/۸۸	-۲۲/۸۸	-۲۲/۸۸	ac
۶	-۲۲/۰۳	۲۲/۰۳	-۲۲/۰۳	۲۲/۰۳	۲۲/۰۳	۲۲/۰۳	-۲۲/۰۳	b
۷	-۰۲/۷۴	-۰۲/۷۴	۰۲/۷۴	-۰۲/۷۴	۰۲/۷۴	۰۲/۷۴	۰۲/۷۴	c
۸	-۰۰/۱۱	-۰۰/۱۱	-۰۰/۱۱	-۰۰/۱۱	-۰۰/۱۱	-۰۰/۱۱	-۰۰/۱۱	۱
مجموع	-۴۰/۱۰	-۲۴/۲۴	۳/۲۱	-۳۹/۹۳	-۲۸/۱۳	۲۴/۰۰	۱۱/۴۴	
تاثیر	-۱۰/۰۲	-۷/۰۱	-۰/۰۰	-۹/۹۸	-۷/۰۲	۷/۰۰	۲/۸۶	

۹- زیر نویسها

۸- مراجع

^۱ Swanson

^۲ Firth

^۳ Nicol

[۱] مظفری، پروین؛ بررسی راههای کاهش خاکستر
کنسانتره مدار جیگ کارخانه زغالشویی زرند،
پایان نامه برای دریافت درجه کارشناسی ارشد
مهندسی فرآوری مواد معدنی، دانشگاه شهید باهنر
کرمان، دانشکده فنی، ۱۳۸۲.

[۲] رضایی، بهرام؛ "تکنولوژی فرآوری مواد معدنی"
(پر عیار سازی ثقلی)، انتشارات دانشگاه هرمزگان،
بندر عباس، ۱۳۷۷.

[۳] اسکندری، محمود؛ افزایش کارآئی مدار فلوتاسیون
کارخانه زغالشویی زرند، پایان نامه برای دریافت
درجه کارشناسی ارشد مهندسی فرآوری مواد معدنی،
دانشگاه شهید باهنر کرمان، دانشکده فنی، ۱۳۸۱.

[۴] Schulz, N.F, *Separation Efficiency, SME*,
New York, American, Vol. 247, PP.8487, 1970 .

[۵] Montgomery, B.C, John Wiley and Sons, Design
and analysis of experiment, New York, 1991

[۶] مشکاتی، علی؛ "طرح ریزی و تحلیل آزمایش‌های
دانشگاه فردوسی، ۱۳۷۳

[۷] Richard, O.B.; *Gravity Concentration Technology, Developments in Mineral Processing*, Vol 5,
Elsevier Scinence Publishers, 1984

[۸] Weiss, N.L; *Mineral Processing Handbook*,
SME., New York, American, Vol. I, pp. 4-32-4-39
1985